

Étude d'un oscillateur linéaire amorti à un degré de liberté

1.1

```
clear all;  
T0=1;  
w0=2*pi/T0;  
epsilon=0.02;  
x0=0.01;  
dx0=0;  
omega=w0*sqrt(1-epsilon^2);
```

a)

```
dt1=(2*epsilon/w0)*1.2;  
U1(:,1)=[x0;dx0];  
A1=[1 dt1;-w0^2*dt1 1-2*epsilon*w0*dt1];  
t1=0:dt1:10*T0;  
for i=2:length(t1)  
    U1(:,i)=A1*U1(:,i-1);  
end  
plot(t1,U1(1,:))  
hold on;  
plot(t1,exp(-epsilon*w0*t1).*(x0*cos(omega*t1)+((epsilon*w0*x0+dx0)/omega)*sin(omega*t1)))  
legend('Euler explicite','Solution exacte')
```

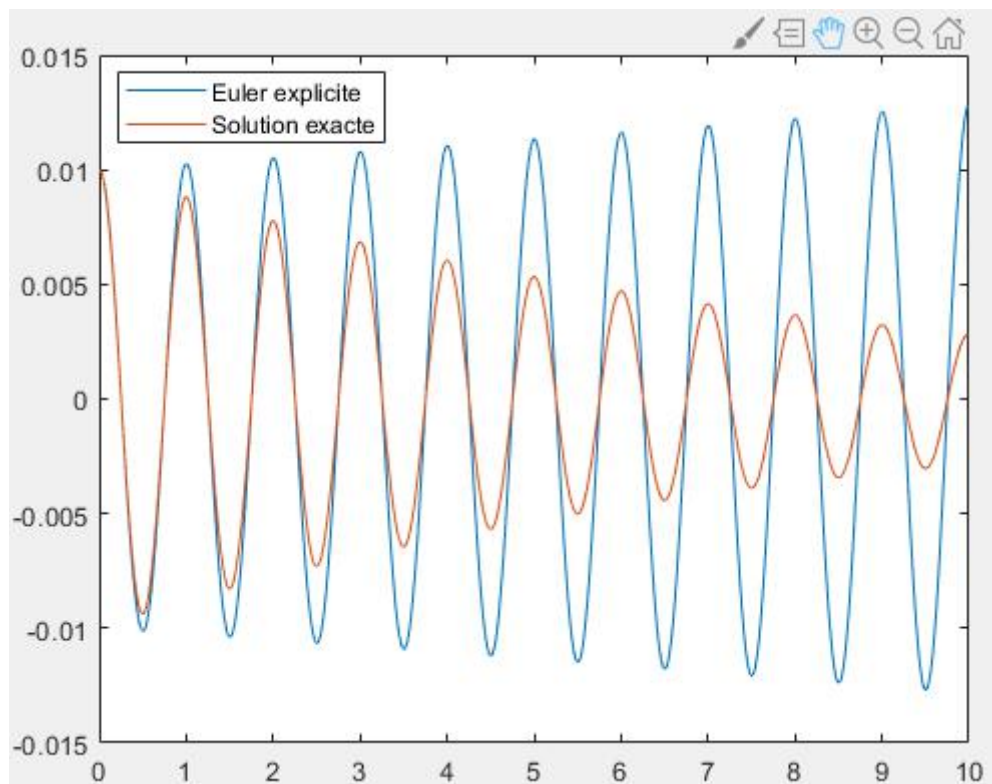


图 1 $\Delta t > \frac{2\varepsilon}{\omega_0}$

b)

```

dt1=(2*epsilon/w0)*1;
U1(:,1)=[x0;dx0];
A1=[1 dt1;-w0^2*dt1 1-2*epsilon*w0*dt1];
t1=0:dt1:10*T0;
for i=2:length(t1)
    U1(:,i)=A1*U1(:,i-1);
end
plot(t1,U1(1,:))
hold on;
plot(t1,exp(-epsilon*w0*t1).*(x0*cos(omega*t1)+((epsilon*w0*x0+dx
0)/omega)*sin(omega*t1)))
legend('Euler explicite','Solution exacte')

```

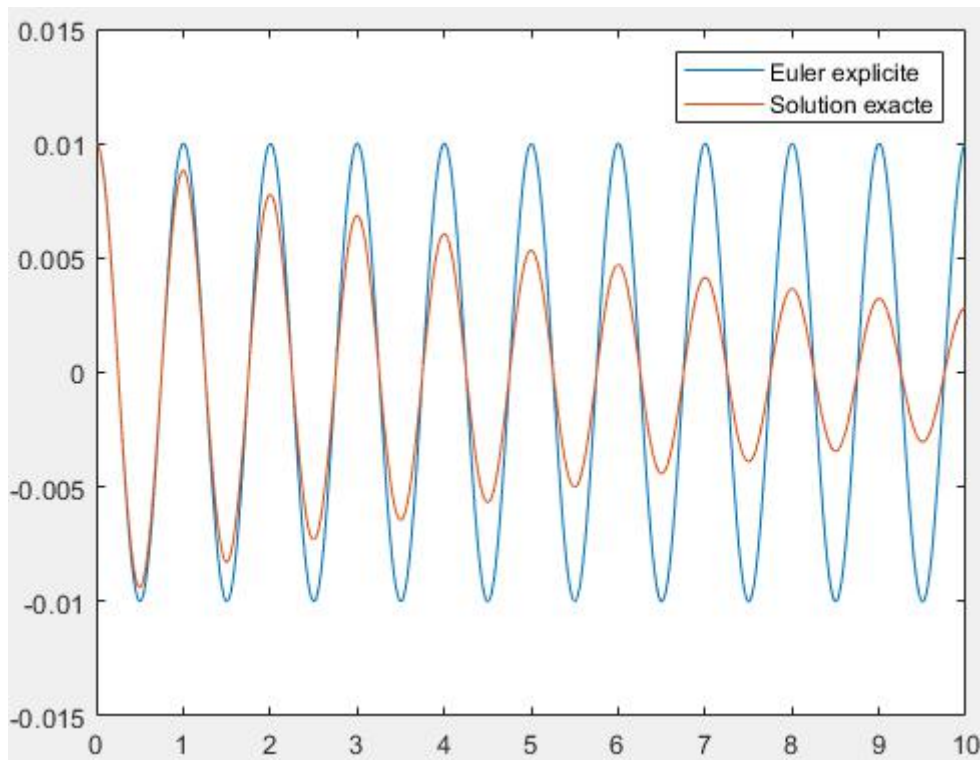


图 2 $\Delta t = \frac{2\varepsilon}{\omega_0}$

c)

```

dt1=(2*epsilon/w0)*0.8;
U1(:,1)=[x0;dx0];

```

```

A1=[1 dt1;-w0^2*dt1 1-2*epsilon*w0*dt1];
t1=0:dt1:10*T0;
for i=2:length(t1)
    U1(:,i)=A1*U1(:,i-1);
end
plot(t1,U1(1,:))
hold on;
plot(t1,exp(-epsilon*w0*t1).*(x0*cos(omega*t1)+((epsilon*w0*x0+dx
0)/omega)*sin(omega*t1)))
legend('Euler explicite','Solution exacte')

```

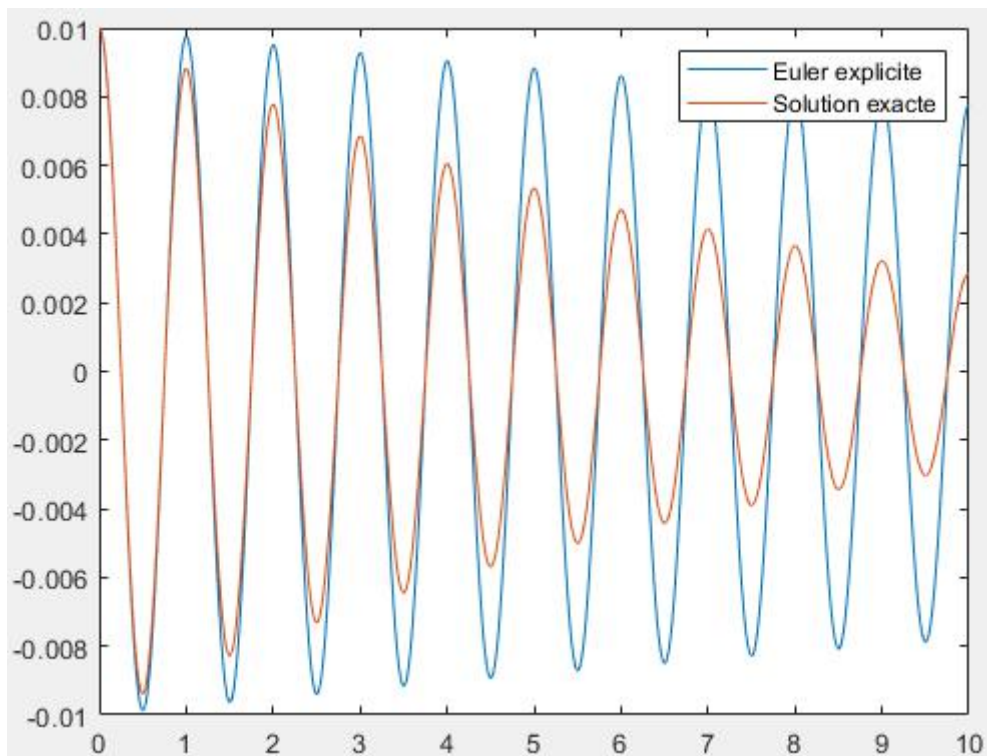


图 3 $\Delta t = 0.8 \times \frac{2\varepsilon}{\omega_0}$

Quand $\Delta t > \frac{2\varepsilon}{\omega_0}$, le résultat diverge; quand $\Delta t = \frac{2\varepsilon}{\omega_0}$, l'amplitude ne change pas;

quand $\Delta t = 0.8 \times \frac{2\varepsilon}{\omega_0}$, il converge.

d)

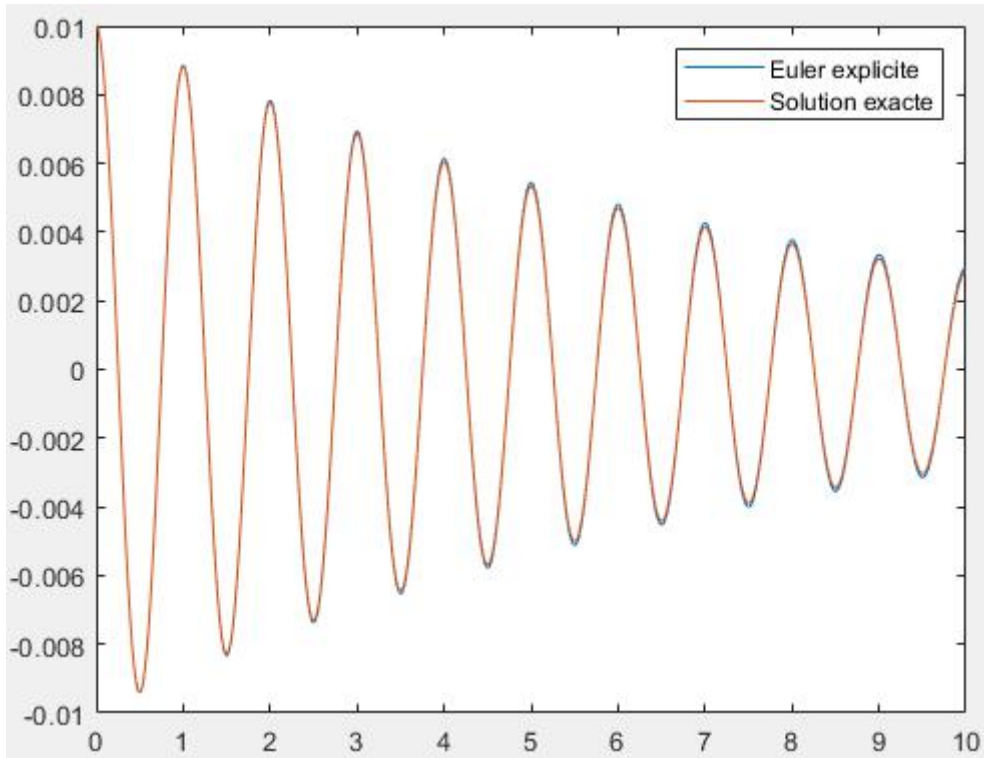


图 4 $\Delta t = 0.03 \times \frac{2\varepsilon}{\omega_0}$

Pour le résultat , il doit être précis en amplitude et en période.

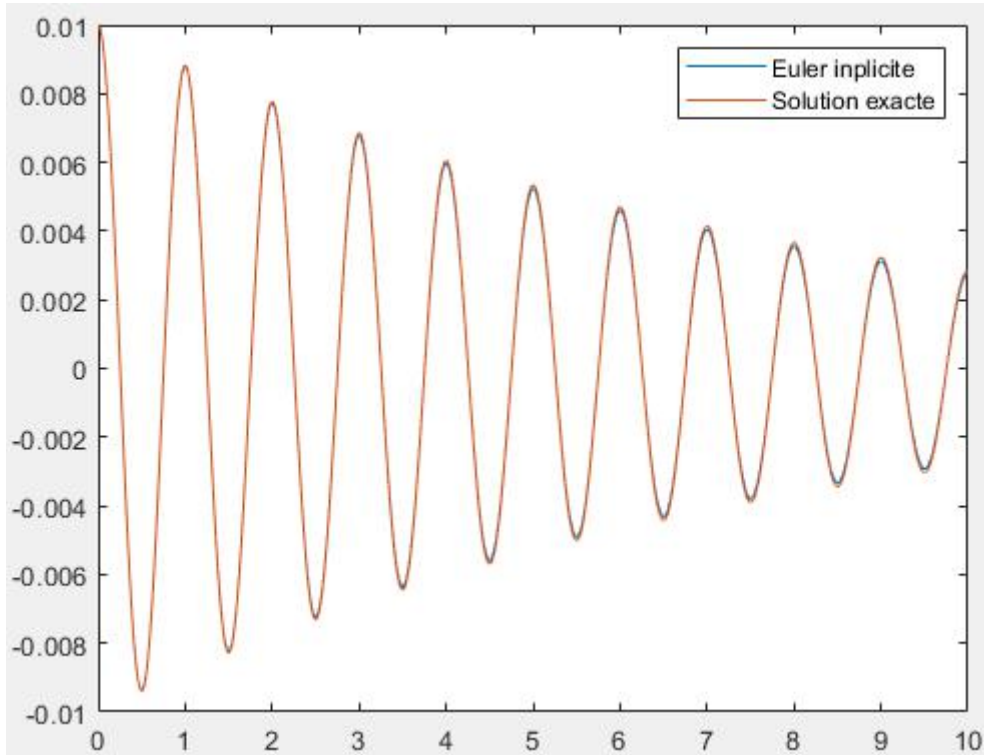
Quand $\Delta t = 0.03 \times \frac{2\varepsilon}{\omega_0}$, le résultat calculée présente une précision suffisante.

1.2

```

% 1.2
dt2=(2*epsilon/w0)*0.03;
U2(:,1)=[x0;dx0];
A2=[1 -dt1;w0^2*dt2 1+2*epsilon*w0*dt2];
t2=0:dt2:10*T0;
for i=2:length(t2)
    U2(:,i)=inv(A2)*U2(:,i-1);
end
plot(t2,U2(1,:))
hold on;
plot(t2,exp(-epsilon*w0*t2).*(x0*cos(omega*t2)+((epsilon*w0*x0+dx
0)/omega)*sin(omega*t2)))
legend('Euler explicite','Solution exacte')
[X,Y]=eig(inv(A2))
module=abs(Y)

```



$$Y = \begin{pmatrix} 1.0000 + 0.0012i & 0.0000 + 0.0000i \\ 0.0000 + 0.0000i & 1.0000 - 0.0012i \end{pmatrix}$$

$$\text{module} = \begin{pmatrix} 1.0000 & 0 \\ 0 & 1.0000 \end{pmatrix}$$

On peut voir que le module de valeur propre est 1. Donc le pas de temps critique

$$\text{est } \Delta t = 0.03 \times \frac{2\varepsilon}{\omega_0}.$$

1.3

a)

```
% 1.3
h=0.04;
dt3=h*2*sqrt(2)/w0;
t3=0:dt3:100*T0;
A3=[0,1;-w0^2,-2*epsilon*w0];
U3(:,1)=[x0;dx0];
for j=1:length(t3)-1
    k1=A3*U3(:,j);
    k2=A3*(U3(:,j)+0.5*dt3*k1);
    k3=A3*(U3(:,j)+0.5*dt3*k2);
    k4=A3*(U3(:,j)+dt3*k3);
```

```

    U3(:,j+1)=U3(:,j)+1/6*dt3*(k1+2*k2+2*k3+k4);
end
plot(t3,U3(1,:))
hold on;
plot(t3,exp(-epsilon*w0*t3).*(x0*cos(omega*t3)+((epsilon*w0*x0+dx
0)/omega)*sin(omega*t3)))
legend('Runge Kutta','Solution exacte')

```

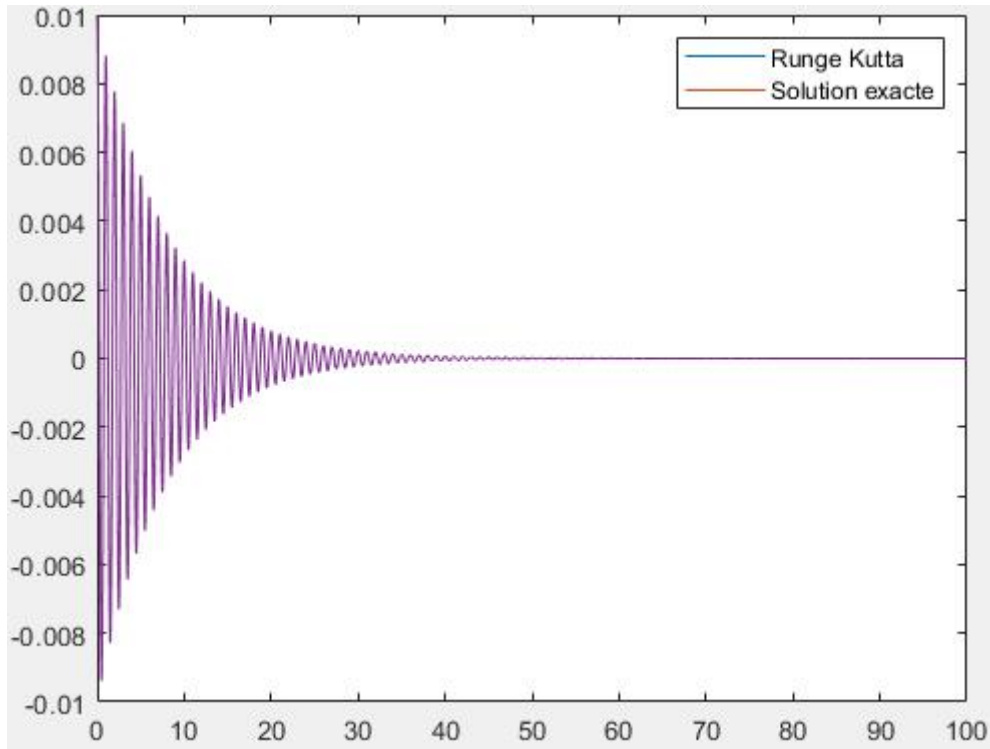


图 5 h=0.04

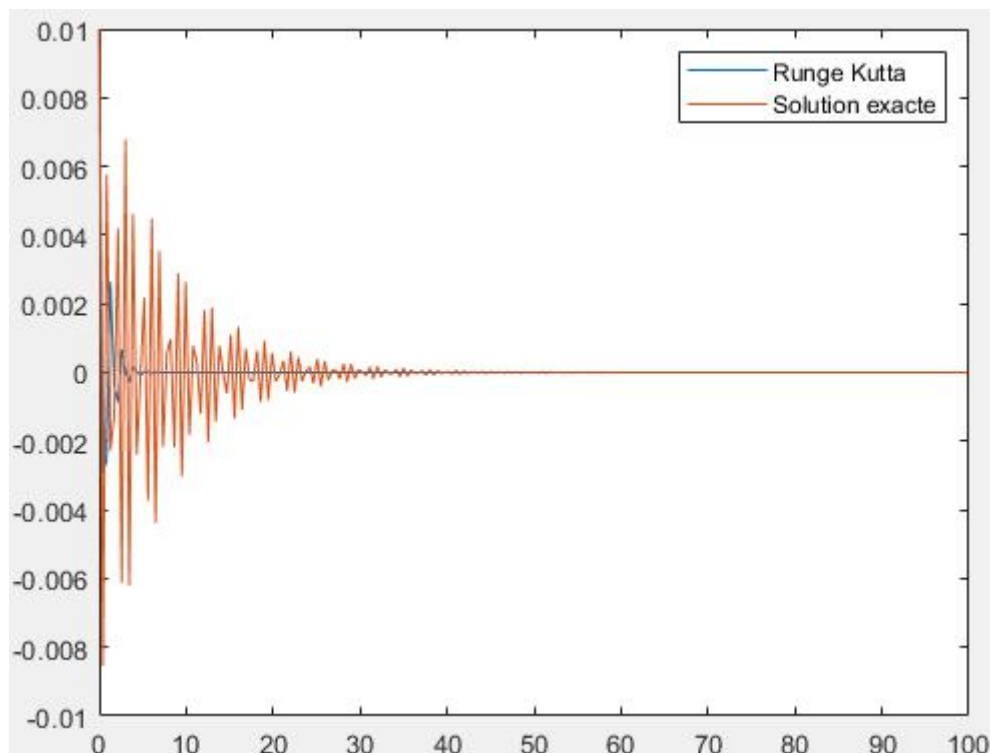


图 6 $h=0.96$

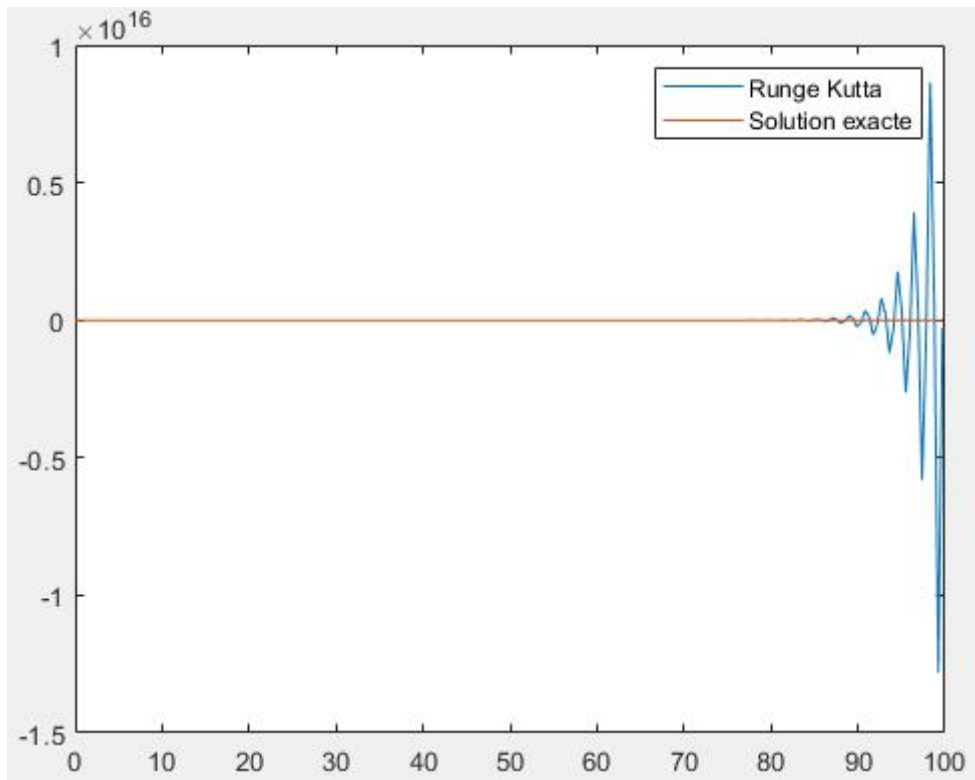


图 7 $h=1.04$

Quand $h < 1$, il est stable, et quand h est plus petit, le résultat est plus précis.

b)

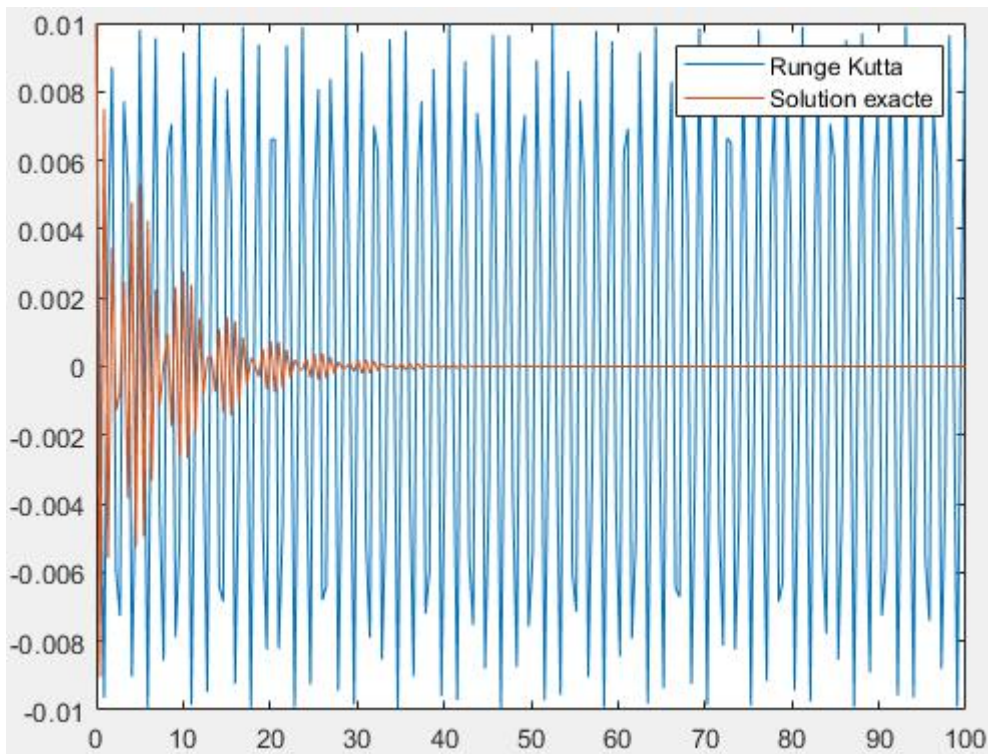


图 8 $h=1.0135$

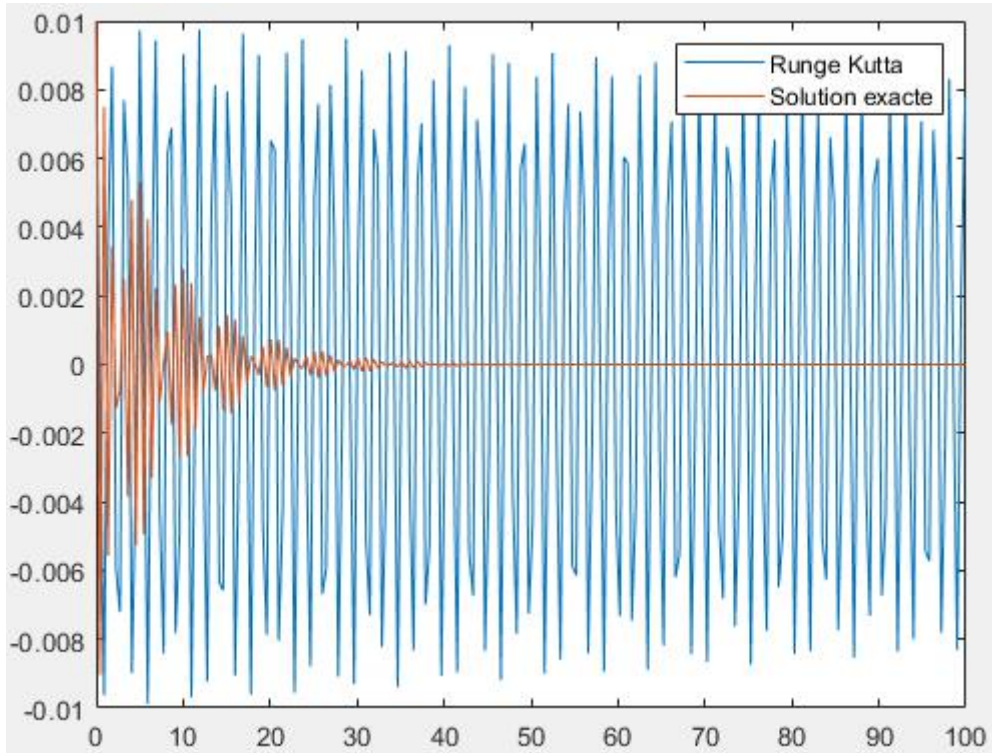


图 9 $h=1.0134$

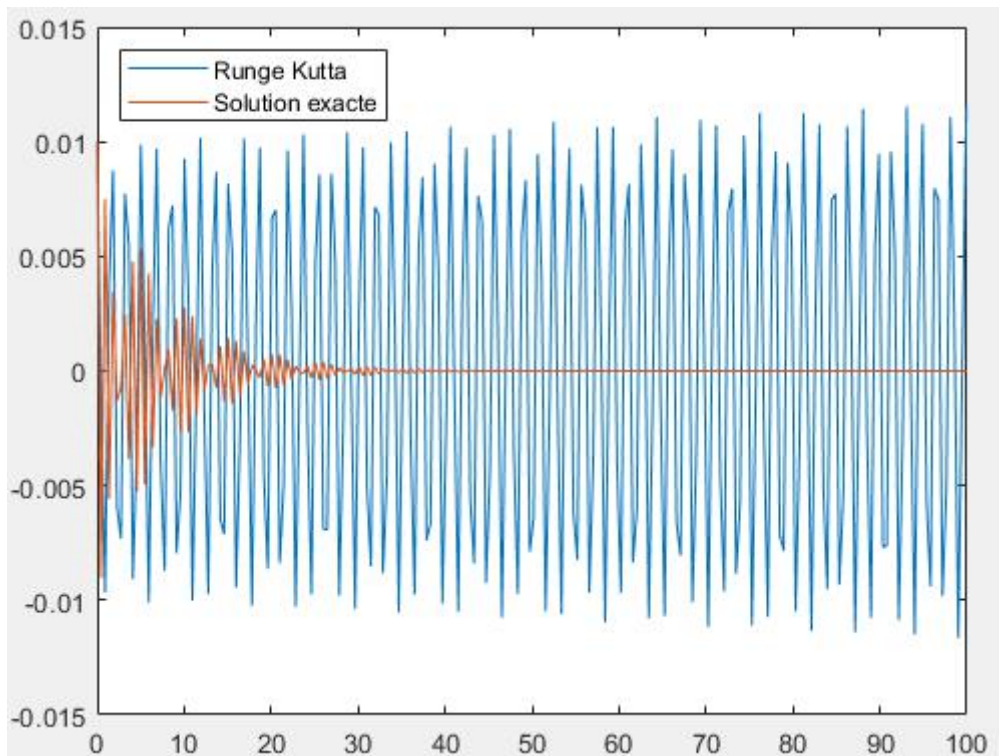


图 10 $h=1.0136$

Donc, on peut choisir $h_c=1.0135$ et $h_{\min}=1.0134$ et $h_{\max}=1.0136$.

Etude d'un double pendule avec l'hypothèse des petits mouvements

1.

1.1

$$ma^2 \begin{bmatrix} 2 & 1 \\ 1 & 1 \end{bmatrix} \begin{pmatrix} \ddot{\theta}_1 \\ \ddot{\theta}_2 \end{pmatrix} + mga \begin{bmatrix} 2 & 0 \\ 0 & 1 \end{bmatrix} \begin{pmatrix} \theta_1 \\ \theta_2 \end{pmatrix} = F_0 \sin \omega t \begin{pmatrix} a \\ a \\ \sqrt{2} \end{pmatrix}$$

$$\ddot{q} = \omega_{02} q + F \quad \text{avec} \quad \omega_{02} = -\frac{g}{a} \begin{bmatrix} 2 & 1 \\ 1 & 1 \end{bmatrix}^{-1} \begin{bmatrix} 2 & 0 \\ 0 & 1 \end{bmatrix}, \quad F = \frac{F_0}{ma^2} \sin \omega t \begin{pmatrix} a \\ a \\ \sqrt{2} \end{pmatrix} \begin{bmatrix} 2 & 1 \\ 1 & 1 \end{bmatrix}^{-1},$$

$$q = \begin{pmatrix} \theta_1 \\ \theta_2 \end{pmatrix}$$

$$q_{n+1} = q_n + \Delta t \dot{q}_n + \Delta t^2 (0.5 - \beta) \ddot{q}_n + \Delta t^2 \beta \ddot{q}_{n+1}$$

$$\dot{q}_{n+1} = \dot{q}_n + \Delta t (1 - \gamma) \ddot{q}_n + \Delta t \gamma \ddot{q}_{n+1}$$

$$\text{On a } \begin{pmatrix} 1 - \Delta t^2 \beta \omega_{02} & 0 \\ -\Delta t \gamma \omega_{02} & 1 \end{pmatrix} \begin{pmatrix} q_{n+1} \\ \dot{q}_{n+1} \end{pmatrix} = \begin{pmatrix} 1 + \Delta t^2 (0.5 - \beta) \omega_{02} & \Delta t \\ \Delta t (1 - \gamma) \omega_{02} & 1 \end{pmatrix} \begin{pmatrix} q_n \\ \dot{q}_n \end{pmatrix} + \begin{pmatrix} 0.5 \Delta t^2 \\ \Delta t \end{pmatrix} F$$

$$\text{Donc } B = \begin{pmatrix} 1 - \Delta t^2 \beta \omega_{02} & 0 \\ -\Delta t \gamma \omega_{02} & 1 \end{pmatrix}, C = \begin{pmatrix} 1 + \Delta t^2 (0.5 - \beta) \omega_{02} & \Delta t \\ \Delta t (1 - \gamma) \omega_{02} & 1 \end{pmatrix}$$

$$\text{et } A = B^{-1} \times C$$

Quand on choisit $\Delta t = 0.01$

m=2;

a=0.5;

g=9.81;

F0=20;

w=2*pi;

theta10=0;

theta20=0;

dtheta10=-1.31519275;

dtheta20=-1.85996342;

q0=[theta10;theta20];

dq0=[dtheta10;dtheta20];

T0=8;

w02=-inv([2,1;1,1])*[2,0;0,1]*g/a;

F=F0*inv([2,1;1,1])*[a;a/sqrt(2)]/(m*a^2);

gama=0.5;

beta=0;

dt=0.01;

B=[[1,0;0,1]-dt^2*beta*w02,[0,0;0,0];-dt*gama*w02,[1,0;0,1]];

C=[[1,0;0,1]+dt^2*(0.5-beta)*w02,dt*[1,0;0,1];dt*(1-gama)*w02,[1,

```
0;0,1]];
```

```
A=inv(B)*C;
```

On peut obtenir la matrice d'amplification

A =

```

9.9804e-01  9.8100e-04  1.0000e-02      0
1.9620e-03  9.9804e-01      0  1.0000e-02
-3.9182e-01  1.9582e-01  9.9804e-01  9.8100e-04
3.9163e-01 -3.9182e-01  1.9620e-03  9.9804e-01

```

1.2

On utilise la dichotomisation et trouver le pas de temps critique. Quand $\Delta t \leq 0.244$, la module des valeurs propres de la matrice d'amplification est 1.

Donc le pas de temps critique est 0.244.

1.3

$$\ddot{q} = \omega_{02}q + F \quad \text{avec } \omega_{02} = -\frac{g}{a} \begin{bmatrix} 2 & 1 \\ 1 & 1 \end{bmatrix}^{-1} \begin{bmatrix} 2 & 0 \\ 0 & 1 \end{bmatrix}, F = \frac{F_0}{ma^2} \sin \omega t \begin{bmatrix} a \\ a \\ \sqrt{2} \end{bmatrix} \begin{bmatrix} 2 & 1 \\ 1 & 1 \end{bmatrix}^{-1}$$

1.4

$$\begin{pmatrix} 1 - \Delta t^2 \beta \omega_{02} & 0 \\ -\Delta t \gamma \omega_{02} & 1 \end{pmatrix} \begin{pmatrix} q_{n+1} \\ \dot{q}_{n+1} \end{pmatrix} = \begin{pmatrix} 1 + \Delta t^2 (0.5 - \beta) \omega_{02} & \Delta t \\ \Delta t (1 - \gamma) \omega_{02} & 1 \end{pmatrix} \begin{pmatrix} q_n \\ \dot{q}_n \end{pmatrix} + \begin{pmatrix} 0.5 \Delta t^2 \\ \Delta t \end{pmatrix} F$$

$$\begin{bmatrix} 1 & 0 & -\Delta t^2 \beta \\ 0 & 1 & -\Delta t \gamma \\ -\omega_{02} & 0 & 1 \end{bmatrix} \begin{pmatrix} q_{n+1} \\ \dot{q}_{n+1} \\ \ddot{q}_{n+1} \end{pmatrix} = \begin{bmatrix} 1 & \Delta t & \Delta t^2 (0.5 - \beta) \\ 0 & 1 & \Delta t (1 - \gamma) \\ 0 & 0 & 0 \end{bmatrix} \begin{pmatrix} q_n \\ \dot{q}_n \\ \ddot{q}_n \end{pmatrix} + \begin{pmatrix} 0 \\ 0 \\ F \end{pmatrix}$$

1.5

```

gama=0.5;
beta=0;
dt=0.02;
B=[[1,0;0,1]-dt^2*beta*w02,[0,0;0,0];-dt*gama*w02,[1,0;0,1]];
C=[[1,0;0,1]+dt^2*(0.5-beta)*w02,dt*[1,0;0,1];dt*(1-gama)*w02,[1,
0;0,1]];
A=inv(B)*C;
t=0:dt:T0;
U(:,1)=[q0;dq0];
for i=2:length(t)
    D=[dt*dt*0.5*F*sin(w*(j-1)*dt);dt*F*sin(w*(j-1)*dt)];
    U(:,i)=A*U(:,i-1)+inv(B)*D;
end
plot(t,U(1,:))
hold on;
plot(t,U(2,:))
legend('q','dq')

```

1.6

T=0s

0

0

-1.3152e+00

-1.8600e+00

T=0.02s

-2.6452e-02 + 1.4645e-04i

-3.7409e-02 + 2.0711e-04i

-1.3270e+00 + 1.4628e-02i

-1.8766e+00 + 2.0687e-02i

T=0.04s

-5.3078e-02 + 5.8512e-04i

-7.5064e-02 + 8.2748e-04i

-1.3326e+00 + 2.9189e-02i

-1.8846e+00 + 4.1279e-02i

T=4s

-3.3678e-01 + 2.5572e-02i

-4.7628e-01 + 3.6165e-02i

-9.6205e-01 + 1.7292e-01i

-1.3605e+00 + 2.4454e-01i

2.

2.1

Le même résultat avec 1.1

$$\begin{pmatrix} 1 - \Delta t^2 \beta \omega_{02} & 0 \\ -\Delta t \gamma \omega_{02} & 1 \end{pmatrix} \begin{pmatrix} q_{n+1} \\ \dot{q}_{n+1} \end{pmatrix} = \begin{pmatrix} 1 + \Delta t^2 (0.5 - \beta) \omega_{02} & \Delta t \\ \Delta t (1 - \gamma) \omega_{02} & 1 \end{pmatrix} \begin{pmatrix} q_n \\ \dot{q}_n \end{pmatrix} + \begin{pmatrix} 0.5 \Delta t^2 \\ \Delta t \end{pmatrix} F$$

$$B = \begin{pmatrix} 1 - \Delta t^2 \beta \omega_{02} & 0 \\ -\Delta t \gamma \omega_{02} & 1 \end{pmatrix}, C = \begin{pmatrix} 1 + \Delta t^2 (0.5 - \beta) \omega_{02} & \Delta t \\ \Delta t (1 - \gamma) \omega_{02} & 1 \end{pmatrix}$$

Et la matrice d'amplificatin $A = B^{-1} \times C$

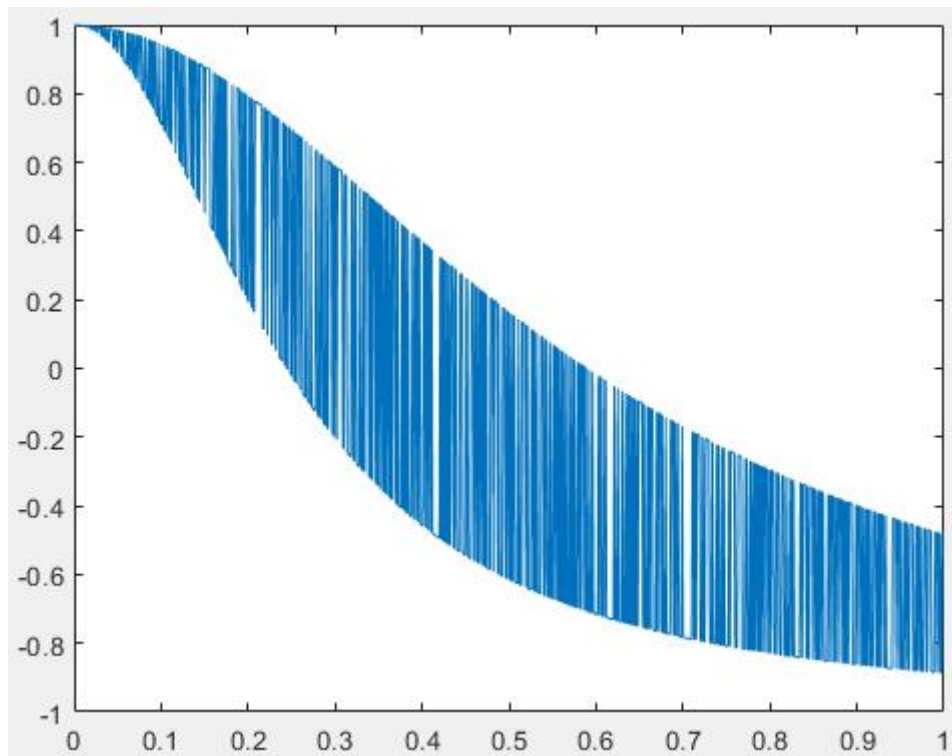
2.2

```
clear all;
m=2;
a=0.5;
g=9.81;
F0=20;
w=2*pi;
theta10=0;
theta20=0;
```

```

dtheta10=-1.31519275;
dtheta20=-1.85996342;
q0=[theta10;theta20];
dq0=[dtheta10;dtheta20];
T0=8;
w02=-inv([2,1;1,1])*[2,0;0,1]*g/a;
gama=0.5;
beta=0.25;
pdt=0.001:0.001:1;
for j=1:length(pdt)
    dt=pdt(j);
    B=[[1,0;0,1]-dt^2*beta*w02,[0,0;0,0];-dt*gama*w02,[1,0;0,1]];
C=[[1,0;0,1]+dt^2*(0.5-beta)*w02,dt*[1,0;0,1];dt*(1-gama)*w02,[1,0;0,1]];
    A=inv(B)*C;
    vp(:,j)=eig(A);
    vpmax(j)=real(max(vp(:,j)));
end
plot(pdt, vpmax)

```



Le plus grand valeur propre de cette matrice est toujours entre -1 et 1. Le module de valeur propre de la matrice d'amplification est toujours à inférieure à 1. Donc le résultat est toujours stable.

$$\ddot{q} = \omega_{02}q + F \quad \text{avec } \omega_{02} = -\frac{g}{a} \begin{bmatrix} 2 & 1 \\ 1 & 1 \end{bmatrix}^{-1} \begin{bmatrix} 2 & 0 \\ 0 & 1 \end{bmatrix}, F = \frac{F_0}{ma^2} \sin \omega t \begin{pmatrix} a \\ a \\ \sqrt{2} \end{pmatrix} \begin{bmatrix} 2 & 1 \\ 1 & 1 \end{bmatrix}^{-1}$$

2.4

$$\begin{pmatrix} 1 - \Delta t^2 \beta \omega_{02} & 0 \\ -\Delta t \gamma \omega_{02} & 1 \end{pmatrix} \begin{pmatrix} q_{n+1} \\ \dot{q}_{n+1} \end{pmatrix} = \begin{pmatrix} 1 + \Delta t^2 (0.5 - \beta) \omega_{02} & \Delta t \\ \Delta t (1 - \gamma) \omega_{02} & 1 \end{pmatrix} \begin{pmatrix} q_n \\ \dot{q}_n \end{pmatrix} + \begin{pmatrix} 0.5 \Delta t^2 \\ \Delta t \end{pmatrix} F$$

$$\begin{bmatrix} 1 & 0 & -\Delta t^2 \beta \\ 0 & 1 & -\Delta t \gamma \\ -\omega_{02} & 0 & 1 \end{bmatrix} \begin{pmatrix} q_{n+1} \\ \dot{q}_{n+1} \\ \ddot{q}_{n+1} \end{pmatrix} = \begin{bmatrix} 1 & \Delta t & \Delta t^2 (0.5 - \beta) \\ 0 & 1 & \Delta t (1 - \gamma) \\ 0 & 0 & 0 \end{bmatrix} \begin{pmatrix} q_n \\ \dot{q}_n \\ \ddot{q}_n \end{pmatrix} + \begin{pmatrix} 0 \\ 0 \\ F \end{pmatrix}$$

2.5

```

gama=0.5;
beta=0.25;
dt=0.02;
B=[[1,0;0,1]-dt^2*beta*w02,[0,0;0,0];-dt*gama*w02,[1,0;0,1]];
C=[[1,0;0,1]+dt^2*(0.5-beta)*w02,dt*[1,0;0,1];dt*(1-gama)*w02,[1,
0;0,1]];
A=inv(B)*C;
t=0:dt:T0;
U(:,1)=[q0;dq0];
for i=2:length(t)
    D=[dt*dt*0.5*F*sin(w*(j-1)*dt);dt*F*sin(w*(j-1)*dt)];
    U(:,i)=A*U(:,i-1)+inv(B)*D;
end
plot(t,U(1,:))
hold on;
plot(t,U(2,:))
legend('q','dq')

```

2.6

T=0s

0

0

-1.3152e+00

-1.8600e+00

T=0.02s

$$-2.6421e-02 + 1.4628e-04i$$

$$-3.7366e-02 + 2.0687e-04i$$

$$-1.3270e+00 + 1.4628e-02i$$

$$-1.8766e+00 + 2.0687e-02i$$

T=0.04s

$$-5.3017e-02 + 5.8445e-04i$$

$$-7.4978e-02 + 8.2653e-04i$$

$$-1.3326e+00 + 2.9189e-02i$$

$$-1.8846e+00 + 4.1279e-02i$$

T=4s

$$-3.3439e-01 + 2.5178e-02i$$

$$-4.7290e-01 + 3.5607e-02i$$

$$-9.6927e-01 + 1.7201e-01i$$

$$-1.3708e+00 + 2.4326e-01i$$

Oscillateur non linéaire à un degré de liberté

1.

1.1

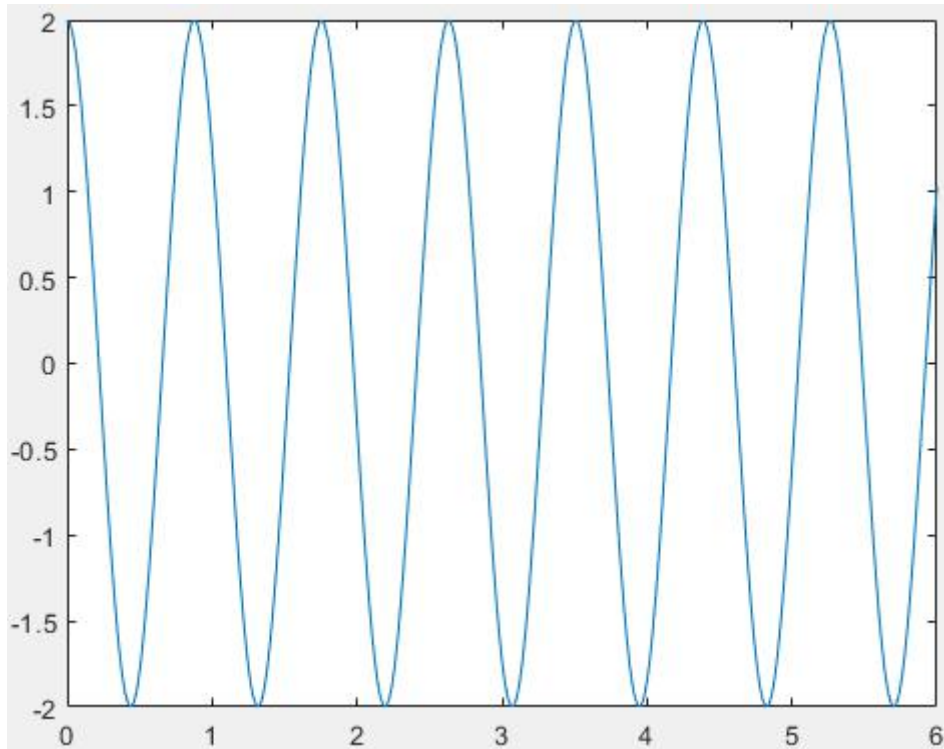
$$q_j, \dot{q}_j, \ddot{q}_j$$

Quand est connu, on peut obtenir

$$\begin{cases} \dot{q}_{j+1} = q_j + \Delta t \dot{q}_j + \Delta t^2 (0.5 - \beta) \ddot{q}_j \\ \ddot{q}_{j+1} = -\omega_0^2 q_{j+1} (1 + a q_{j+1}^2) \\ \dot{q}_{j+1} = \dot{q}_j + \Delta t (1 - \gamma) \ddot{q}_j + \gamma \Delta t \dot{q}_{j+1} \end{cases}$$

1.2

```
clear all;
q0=2;
dq0=0;
w0=2*pi;
a=0.1;
T0=6;
m=1;
gama=0.5;
beta=0;
dt1=0.02;
t1=0:dt1:T0;
q1(1)=q0;
dq1(1)=dq0;
ddq1(1)=-w0^2*q1(1)*(1+a*q1(1)*q1(1));
for j = 2:length(t1)
    q1(j)=q1(j-1)+dt1*dq1(j-1)+dt1*dt1*0.5*ddq1(j-1);
    ddq1(j)=-w0^2*q1(j)*(1+a*q1(j)*q1(j));
    dq1(j)=dq1(j-1)+dt1*(1-gama)*ddq1(j-1)+gama*dt1*ddq1(j);
end
plot(t1,q1)
```



1.3

valeursdeq1=[q1(1),q1(2),q1(3),q1(length(t1))]

valeursdeq1 =

2.0000 1.9779 1.9123 1.0329

Donc, $q(0)=2.0000$, $q(0.02)=1.9779$, $q(0.04)=1.9123$, $q(6)=1.0329$

2

2.1

$$\ddot{q}_{j+1}, \dot{q}_{j+1}, q_{j+1}$$

2.2

$$q_{j+1} = q_{j+1}^* + \Delta q_{j+1}$$

$$\dot{q}_{j+1} = \dot{q}_{j+1}^* + \Delta \dot{q}_{j+1}$$

$$\ddot{q}_{j+1} = \ddot{q}_{j+1}^* + \Delta \ddot{q}_{j+1}$$

2.3

$$\Delta \ddot{q}_{n+1} = - \frac{f(\ddot{q}_{n+1}^*, \dot{q}_{n+1}^*, q_{n+1}^*)}{\frac{\partial f}{\partial \ddot{q}_{n+1}^*} + \frac{\partial f}{\partial q_{n+1}^*} \beta \Delta t^2}} \text{ avec } f(\ddot{q}_{n+1}^*, \dot{q}_{n+1}^*, q_{n+1}^*) = \ddot{q}_{n+1}^* + \omega_0^2 q_{n+1}^* (1 + a q_{n+1}^{*2})$$

$$\text{Donc on a } \Delta \ddot{q}_{n+1} = - \frac{\ddot{q}_{n+1}^* + \omega_0^2 q_{n+1}^* (1 + a q_{n+1}^{*2})}{1 + (\omega_0^2 + 3a \omega_0^2 q_{n+1}^{*2}) \beta \Delta t^2}}$$

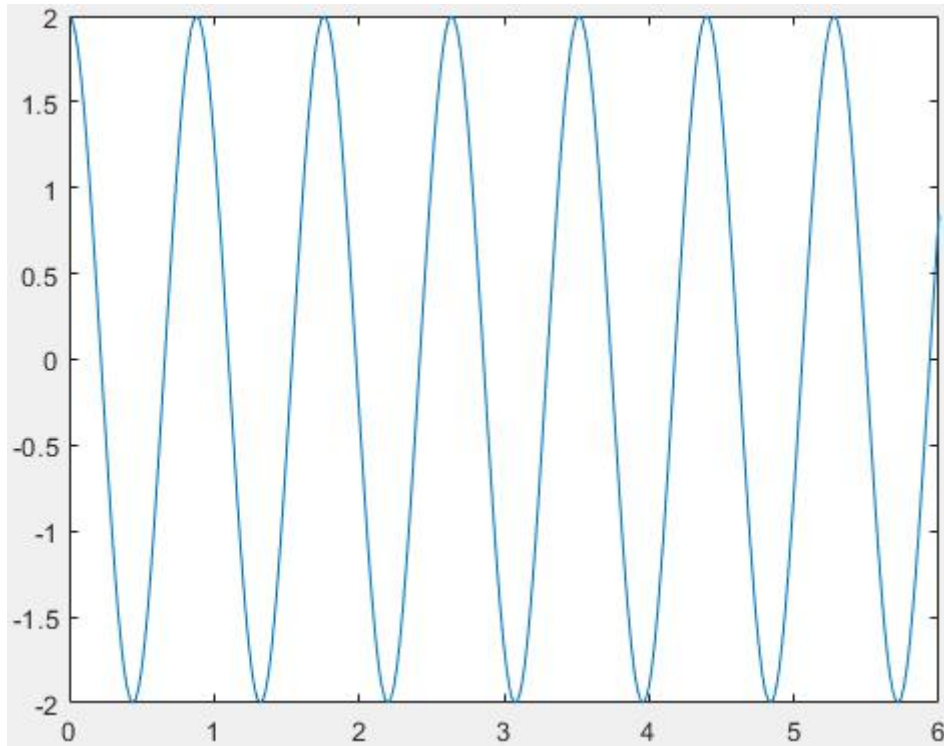
$$\Delta \dot{q}_{n+1} = \dot{q}_n - \dot{q}_n^* = \gamma \Delta t \dot{q}_{n+1}^* \quad \Delta q_{n+1} = q_{n+1} - q_{n+1}^* = \beta \Delta t^2 \ddot{q}_{n+1}^*$$


```

clear all;
q0=2;
dq0=0;
w0=2*pi;
a=0.1;
T0=6;
m=1;
gama=0.5;
beta=0.25;
dt=0.02;
t=0:dt:T0;
q(1)=q0;
dq(1)=dq0;
ddq(1)=-w0^2*q(1)*(1+a*q(1)*q(1));
sigma=0.01
qe(1)=q(1);
dqe(1)=dq(1);
ddqe(1)=ddq(1);
for j=2:length(t)
    ddqe(j)=0;
    dqe(j)=dqe(j-1)+dt*(1-gama)*ddqe(j-1);
    qe(j)=qe(j-1)+dt*dqe(j-1)+dt^2*(0.5-beta)*ddqe(j-1);
    erreur=ddqe(j)+w0^2*qe(j)*(1+a*qe(j)*qe(j));
    while abs(erreur)>=sigma

        deltaddq(j)=- (ddqe(j)+w0^2*qe(j)*(1+a*qe(j)*qe(j)))/(1+w0^2
        *beta*dt^2*(1+3*a*qe(j)*qe(j)));
        deltaq(j)=beta*dt*dt*deltaddq(j);
        deltadq(j)=gama*dt*deltaddq(j);
        qe(j)=qe(j)+deltaq(j);
        dqe(j)=dqe(j)+deltadq(j);
        ddqe(j)=ddqe(j)+deltaddq(j);
        erreur=ddqe(j)+w0*w0*qe(j)*(1+a*qe(j)*qe(j));
    end
    q(j)=qe(j);
    dq(j)=dqe(j);
    ddq(j)=ddqe(j);
end
plot(t,q)

```



2.4

```
valeurdeq=[q(1),q(2),q(3),q(length(t))]
```

```
valeurdeq =
```

```
2.0000    1.9781    1.9131    0.8478
```

3.

3.1

L'énergie peut se diviser en 2 parties : l'énergie cinétique et l'énergie potentiel

L'énergie cinétique : $E_c = \frac{1}{2} m \dot{q}^2$

L'énergie potentiel : $E_p = \int \vec{F} dq = \frac{1}{2} k q^2 + \frac{1}{4} k a q^4$

3.2

```
k=w0^2*m;
```

```
for j=1:length(t)
```

```
    Ece(j)=0.5*m*dq1(j)^2;
```

```
    Epe(j)=0.5*k*q1(j)*q1(j)+0.25*k*a*q1(j)^4;
```

```
    Ee(j)=Ece(j)+Epe(j);
```

```
    Eci(j)=0.5*m*dq(j)^2;
```

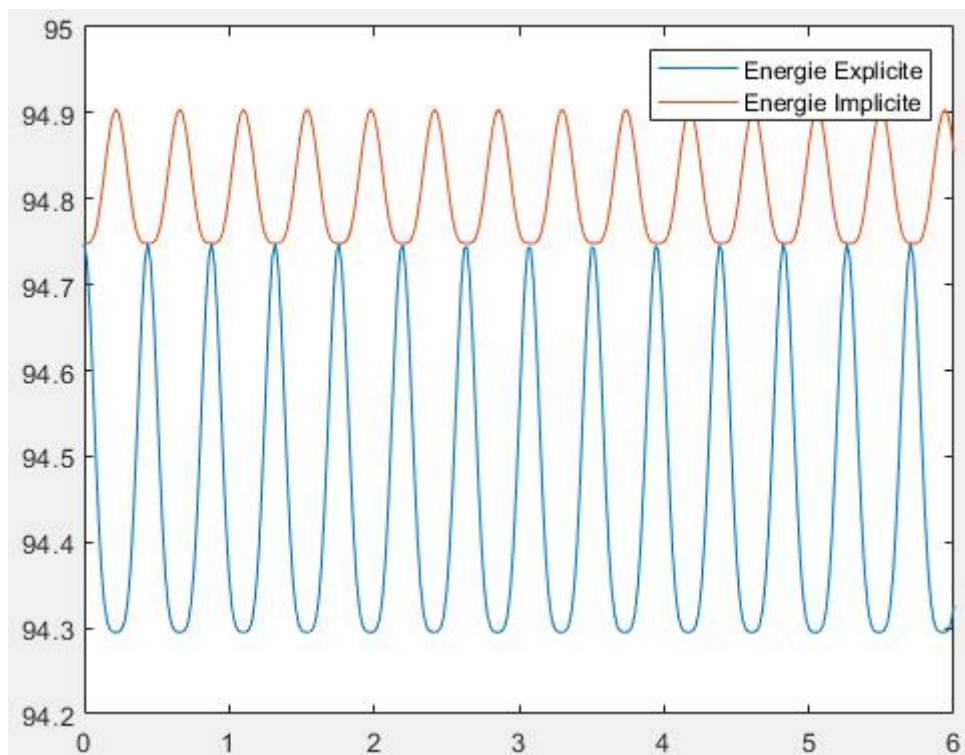
```
    Epi(j)=0.5*k*q(j)*q(j)+0.25*k*a*q(j)^4;
```

```
    Ei(j)=Eci(j)+Epi(j);
```

```
end
```

```
plot(t,Ee)
```

```
hold on;  
plot(t,Ei)  
legend('Energie Explicite','Energie Implicite')
```



3.3

On trouve que l'énergie de Newmark implicite est plus stable que l'énergie de Newmark explicite.